

Molecular dynamics simulation study of the effect of hesperetin on pre-apoptotic factors of Bad, Bak, and Bim

Javad Saffari-Chaleshtori¹, Navid Jamali¹, Ehsan Heidari-Sureshjani², Keihan Ghatreh-Samani³

1. Department of Biochemistry, School of Medicine, Shiraz University of Medical Sciences, Shiraz, Iran

2. Cellular & Molecular, Research Center, Basic Health Sciences Institute, Shahrekord University of Medical Sciences, Shahrekord, Iran

3. Clinical Biochemistry Research Center, Basic Health Sciences Institute, Shahrekord University of Medical Sciences, Shahrekord, Iran, Tel:038-3331471, E-mail: kgsamani@yahoo.com

ABSTRACT

Background and Aim: Many compounds derived from medicinal plants, such as antioxidants and polyphenols have significant roles in prevention and treatment of various cancers. Activation of apoptosis related pathways is one of the mechanisms for inhibition of cancer progression. In this study, we investigated the effect of molecular dynamics simulation of hesperetin on the pre-apoptotic factors of Bad, Bak, and Bim.

Material and Methods: In this study we collected data about 3 dimensional structure and Protein Data Bank (PDB) files of three apoptotic factors of Bad, Bak, and Bim from Protein Data Bank (<http://www.rcsb.org/pdb>). Using VMD v1.9.2, AutoDock v.4.2, and Gromacs v.4.5.4 softwares, we started processes such as optimization, simulation, molecular docking and molecular dynamics calculations.

Results: Binding of Bad molecule to hesperetin led to release of the highest amount of energy and reduced changes in the radius of gyration of Bad protein. But after binding of Bim and Bak proteins to hesperetin, changes in the radius of gyration, increased. The most frequent change in the secondary protein structure was related to increased amount of Bent structure and decreased amount of -sheet structure in Bim molecule.

Conclusion: Hesperetin can affect the activities of pre-apoptotic factors of Bad, Bak, and Bim by influencing their molecular dynamics. It seems that hesperetin has the highest effect on the activation of Bad molecule. Also, it can activate Bim protein and induce apoptosis via inducing alternations in the secondary structure of the protein.

Keywords: Molecular dynamics, Apoptosis, Hesperetin

بررسی تأثیر هسپرین بر دینامیک مولکولی فاکتورهای پیش آپوپتوزی Bad، Bak و Bim در محیط شبیه سازی شده

جواد صفاری چالشتری^۱، نوبد جمالی^۱، احسان حیدری سورشجانی^۲، کیهان قطره سامانی^۳

۱. گروه بیوشیمی بالینی دانشکده پزشکی، دانشگاه علوم پزشکی شیراز، شیراز، ایران

۲. مرکز تحقیقات سلولی و مولکولی، پژوهشکده علوم پایه سلامت، دانشگاه علوم پزشکی شهرکرد، شهرکرد، ایران

۳. مرکز تحقیقات بیوشیمی بالینی، پژوهشکده علوم پایه سلامت، دانشگاه علوم پزشکی شهرکرد، شهرکرد، ایران، تلفن ثابت: ۰۷۳۳-۳۳۳۱۴۷۱

E-mail: kgsamani@yahoo.com

چکیده

مقدمه: بسیاری از ترکیبات مشتق شده از گیاهان دارویی مانند آنتی اکسیدان‌ها و پلی فل‌ها نقش بسزایی در پیشگیری و درمان انواع سرطان‌ها دارند. یکی از فرایندهای مهار سرطان، فعال کردن مسیر آپوپتوز است و ما قصد داریم در این مطالعه، تأثیر دینامیک مولکولی هسپرین (Hesperetin) را بر روی فاکتورهای پیش آپوپتوزی Bad، Bak و Bim در محیط شبیه‌سازی شده بررسی نماییم.

روش کار: اطلاعات مربوط به ساختار سه بعدی و فایل‌های PDB (Protein Data Bank) سه فاکتور آپوپتوزی Bad، Bak و Bim را از پایگاه اطلاعاتی www.rcsb.org دریافت کردیم و با استفاده از نرم افزارهای AutoDock v.4.2، Gromacs v.4.5.4 و VMD v.1.9.2 فرایندهای بهینه‌سازی، شبیه‌سازی، اتصال مولکولی و محاسبات دینامیک مولکولی را انجام دادیم.

نتایج: مولکول Bad در اتصال با هسپرین بیشترین میزان انرژی را آزاد می‌کند در حالی که تغییرات مربوط به شعاع چرخشی (Radius of Gyration) پروتئین Bad بعد از اتصال هسپرین کاهش ولی برای پروتئین‌های Bak و Bim افزایش یافت. بیشترین تغییر ساختار دوم پروتئین مربوط به افزایش میزان ساختار Bent و کاهش میزان ساختار Sheet در مولکول Bim بود.

بحث و نتیجه‌گیری: هسپرین با تأثیر بر دینامیک مولکولی فاکتورهای پیش آپوپتوزی Bad، Bak و Bim می‌تواند فعالیت آن‌ها را تحت تأثیر قرار دهد. هر چند که به نظر می‌رسد بیشترین تأثیر را در فعال کردن مولکول Bad دارد و با ایجاد تغییر در ساختار دوم پروتئین Bim می‌تواند منجر به فعال کردن این پروتئین و القاء آپوپتوز شود.

کلمات کلیدی: دینامیک مولکولی، آپوپتوز، هسپرین

وصول مقاله: ۹۷/۵/۱۷ اصلاحیه نهایی: ۹۷/۸/۹ پذیرش: ۹۷/۹/۷

مقدمه

سلول به دنبال خواهد داشت(۱۱). مطالعات شبیه سازی و دینامیک مولکولی نشان داده است که ترکیبات آنتی اکسیدان مانند کارواکرول می تواند از نظر دینامیک Bak, Bax, Bim, Bid, Apaf1 و P38 را به حالت های مختلف فعال کند(۱۲). همچنین تأثیر هسپرین بر رفتار دینامیک مولکولی برخی فاکتورهای مؤثر بر آپوپتوز در محیط شبیه سازی نشان داده است که فعالیت پروتئین Bax افزایش و فعالیت NF-kB مهار می شود(۱۳).

با توجه به اهمیت آپوپتوز در جلوگیری از رشد و تکثیر سلول های سرطانی و اینکه فاکتورهای دخیل در مسیر آپوپتوز، نقش کلیدی در القاء و یا مهار این فرایند بر عهده دارند، در این مطالعه خواص دینامیک مولکولی سه فاکتور پیش آپوپتوزی Bad, Bak, Bim که در فرایند آپوپتوز نقش مهمی ایفا می کنند، در حضور هسپرین، یک ترکیب فلاونوئیدی قدرتمند، به صورت شبیه سازی شده مورد بررسی قرار گرفته است.

روش بودسی:

آماده سازی فایل های PDB:

فایل PDB پروتئین های Bad, Bak و Bim به عنوان سه فاکتور مهم در فرایند آپوپتوز سلول ها (به ترتیب با ID:1PQ1 و ID:1BXL، ID:1G5J) از پایگاه داده به نشانی www.rcsb.org به دست آمدند. ساختار سه بعدی ترکیب هسپرین نیز از پایگاه PUBCEM به دست آمد و با استفاده از نرم افزار Mercury v.3.6 به فایل PDB تبدیل شد.

شبیه سازی پروتئین ها در غیاب لیگاند:

مطالعات مربوط به شبیه سازی دینامیک مولکولی سه ساختار پروتئینی مذکور ابتدا در آب خالص انجام شد تا ساختارهای مربوطه تحت شرایط تغییرات دما، فشار قرار بگیرد و به حالت تعادل برسند. فایل های PDB سه پروتئین آپوپتوزی

بیماری سرطان، شیوع بسیار گسترده ای در جوامع امروزی دارد و این امر محققان را بر آن داشته که مطالعات گسترده ای را به منظور علل وقوع، پیشگیری و درمان آن انجام دهند (۱۴). در این میان مطالعات مربوط به تأثیر ترکیبات گیاهی مانند آنتی اکسیدان ها و پلی فل ها بسیار پراهمیت شده اند. مطالعاتی که همواره نقش گیاهان دارویی و ترکیبات مؤثره آنان را در القاء آپوپتوز به اثبات می رسانند(۱۵).

هسپرین یک ترکیب فلاونوئیدی نامحلول در آب است که تنها به مقدار ۵µg/ml در آب حل می شود و در میوه هایی مانند مرکبات، پرتقال و گریپ فروت به وفور یافت می شود(۱۶، ۱۷). این ترکیب به شدت میزان فاکتورهای نکروز دهنده تومور را کاهش می دهد(۱۸). همچنین با خواص ضد رگ زایی (Antiproliferative) خود رشد و تکثیر سلول های سرطانی را مهار کرده و با فعال کردن مسیرهای میتوکندریایی مربوطه آپوپتوز منجر به القاء آپوپتوز و مرگ سلولی می شود(۱۹، ۲۰).

در فرایند آپوپتوز و مرگ سلولی، فاکتورهای بسیار متعددی نقش ایفا می کنند. پروتئین هایی مانند Mcl-1، Bcl-xL و Bcl-2 به عنوان فاکتورهای ضد آپوپتوزی از وقوع آپوپتوز در سلول جلوگیری می کنند(۲۱). زمانی که Bcl-2 توسط داروهای ضد سرطان و یا در پاسخ به محركهای آپوپتوزی مهار می شود به این معنا است که بسیاری از فاکتورهای Bad, Bak, Bim, Bax, Bid, Bik پیش آپوپتوزی زیرمجموعه خود مانند Bad, Bak, Bim، Bax، Bid، Bik فاکتورهای پیش آپوپتوزی هستند که با فعال شدن شان آپوپتوز و مرگ سلولی آپوپتوزی را در سلول های آسیب دیده القا می کنند(۲۲). این فاکتورهای پیش آپوپتوزی بر غشای میتوکندری سلول اثر کرده و با فعال کردن cytochrome c کاسپازهای سلولی را فعال می کنند که این خود جریانی از پیام مرگ را برای

اطلاعات به دست آمده در فایل متندlg مورد تجزیه و تحلیل قرار گرفت(۱۵، ۱۶).

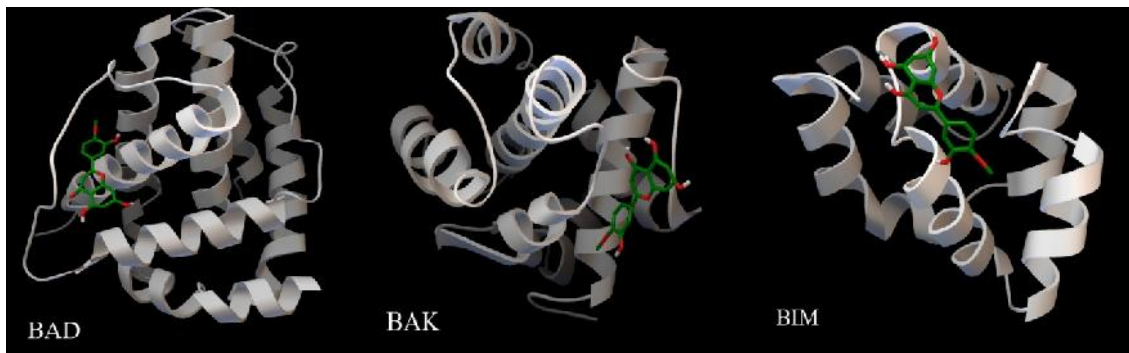
شیوه سازی پروتئین ها در حضور لیگاند: پایدارترین کمپلکس لیگاند-گیرنده برای هر کدام از پروتئین های پیش آپوپتوزی Bad, Bak, Bim در اتصال با هسپرتین، با پایین ترین میزان انرژی اتصال شناسایی شد و مشابه دستورالعمل شیوه سازی پروتئین در آب شیوه سازی شدند. همانند قبل مسیرهای ساختاری کمپلکس ها مورد تجزیه و تحلیل پارامترهای ساختاری مولکول های استفاده قرار گرفت. نتایج حاصل از شیوه سازی مولکول های پیش آپوپتوزی شامل مقادیر مربوط به میزان انرژی کل TE (Total Energy)، Rg (Radius of gyration) تغییرات مربوط به انحراف Root Mean Square Deviation (RMSD) جذر میانگین مربعات اسکلت پروتئین دوم پروتئین به تنها بی و در غیاب هسپرتین، در مقایسه با نتایج حاصل از شیوه سازی اتصال هسپرتین با هر کدام از مولکول های پیش آپوپتوزی، به طور جداگانه با استفاده از نرم افزار Graph pad prism v.5.0.1 مورد ارزیابی قرار گرفتند و نتایج حاصل با استفاده از نرم افزار SPSS v.22 و آزمون آماری T وابسته Paired Samples t-test تجزیه و تحلیل شدند(۱۶، ۱۷).

نتایج

پایدارترین ترین جایگاه برای اتصال هسپرتین در سه پروتئین پیش آپوپتوزی Bad, Bak و Bim در شکل ۱ نشان داده شده است. در این شکل مولکول هسپرتین (رنگ سبز) در بهترین جایگاه اتصال با پایین ترین سطح انرژی در پروتئین جای گرفته است.

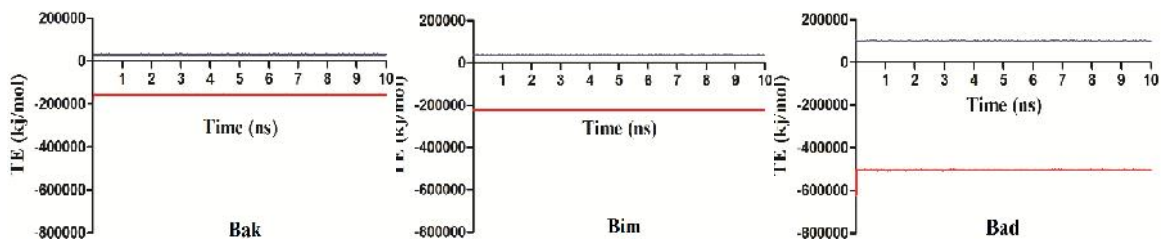
موردنمطالعه (Bim, Bak, Bad) با استفاده از نرم افزار Gromacs v.4.5.4 و میدان نیروی G43A1 در حلال آب شیوه سازی شدند. با افزودن مقادیر محاسبه شده Na و Cl، غلظت ۱۴۰ میکرومولار سیستم آماده شد. در این مطالعه از مدل SPC216 استفاده شد(۱۶). در ادامه فایل PDB خروجی به عنوان ساختار ورودی داکینگ مولکولی برای شیوه سازی کمپلکس ها استفاده شد.

اصال (Docking) لیگاند به پروتئین های پیش آپوپتوزی: مطالعات داکینگ مولکولی با استفاده از نرم افزار AutoDock v.4.2 در سیستم عامل لینوکس در مرکز تحقیقات بیوشیمی بالینی پژوهشکده علوم پایه سلامت دانشگاه علوم پزشکی شهرکرد انجام شد. فرایند داکینگ مولکولی هسپرتین بر روی پروتئین های پیش آپوپتوزی به منظور یافتن بهترین جایگاهای Bad, Bak و Bim باشد. آبادانی اتصال لیگاند-گیرنده و نیز تعیین پایدارترین حالت انرژی آزاد اتصال لیگاند-گیرنده انجام شد. در این مطالعه پس از تولید فایلهای PDBQT و PDBQ برای آنتی اکسیدان هسپرتین و تعریف آن به عنوان لیگاند و همچنین تولید فایلهای PDBQ و PDBQT برای پروتئین های پیش آپوپتوزی Bad, Bak و Bim و تعریف آنها به عنوان گیرنده، از دستور Grid Box یک جعبه مجازی برای این گیرندها با ابعاد nm (x*y*z) ۷۲*۱۲۰*۶۰ تعريف کردیم. از دستور autogrid4 -p n.gpf -l n.gle استفاده شد. پس از آن، مراحل تولید فایل متندlg استفاده شد. برای تهیه فایل خروجی n.dlg از دستور Lamarckian GA (Genetic Algorithm) استفاده شد. برای تهیه فایل خروجی n.dlg از دستور autodock4 -p n.dpf -l n.dlg استفاده شد و



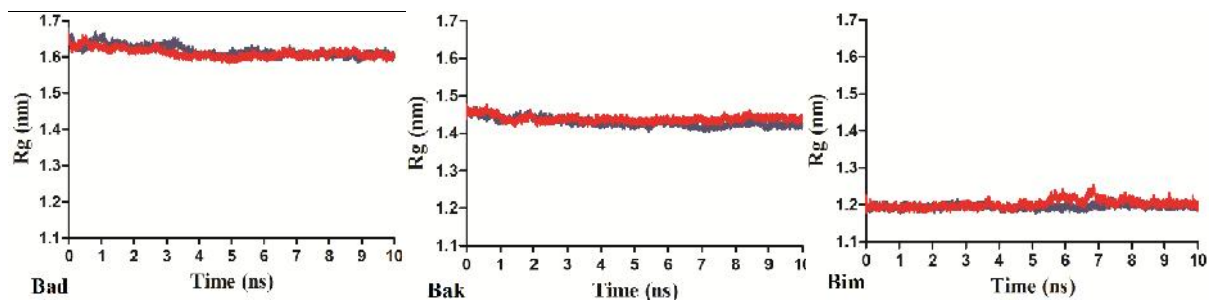
شکل ۱: نحوه اتصال هسپرتین با ساختار سه بعدی مولکولی داکینگ Bak، BAK و BIM بعد از انجام داکینگ مولکولی در بهترین موقعیت در محل اتصال انرژی را در مرحله شیوه سازی بعد از اتصال هسپرتین آزاد می کند اما این میزان انرژی آزاد برای مولکول Bak کمترین است.

شکل ۲ میزان انرژی کل (Total Energy) TE بر حسب کیلو ژول بر مول برای هر سه فاکتور پیش آپوپتوزی Bad، Bak و BIM قبل از داکینگ مولکولی و بعد از داکینگ مولکولی را نشان می دهد. مولکول Bad بیشترین میزان



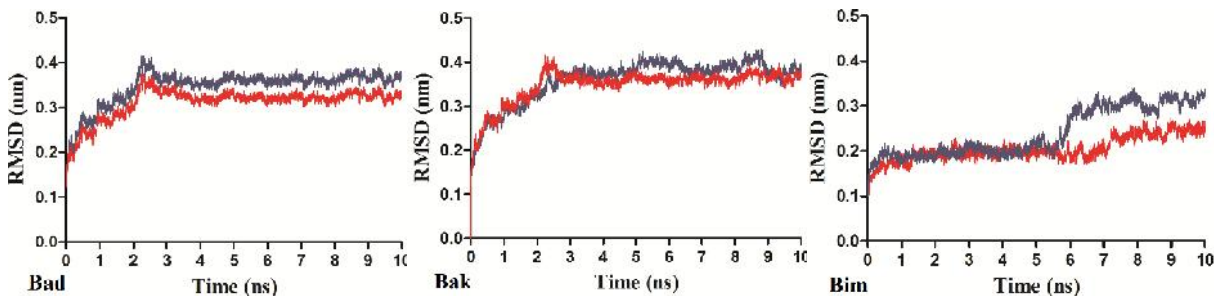
شکل ۲: مقادیر مربوط به میزان انرژی کل در شیوه سازی پروتئین های Bad، Bak و BIM قبل و بعد از اتصال هسپرتین. قبل از مرحله داکینگ (رنگ آبی) و بعد از مرحله داکینگ در حضور هسپرتین (رنگ قرمز). بیشترین میزان آزاد سازی انرژی مربوط به اتصال هسپرتین به مولکول Bad است.

میزان شعاع چرخشی (Radius of Gyration, RG) برای هر سه فاکتور پیش آپوپتوزی Bad، Bak و BIM در شکل ۳ در قبل از داکینگ مولکولی و بعد از داکینگ مولکولی نشان داده شده است. اتصال هسپرتین به هر دو مولکول Bak و BIM در مرحله شیوه سازی باعث افزایش میزان RG و اتصال هسپرتین به مولکول Bad باعث کاهش در میزان RG می شود.



شکل ۳: مقادیر مربوط به میزان R_g در شبیه سازی پروتئین های Bad، Bak و Bim قبل و بعد از اتصال هسپرین. قبل از مرحله داکینگ (رنگ آبی) و بعد از مرحله داکینگ در حضور هسپرین (رنگ قرمز). پس از اتصال هسپرین به مولکول R_g کاهش می یابد در حالی که میزان R_g پس از اتصال هسپرین به مولکول های Bak و Bim افزایش می یابد.

مرحله داکینگ مولکولی و بعد از مرحله داکینگ مولکولی در شکل ۴ نشان داده شده است. میزان RMSD بعد از اتصال هسپرین به هر سه پروتئین کاهش می یابد.



شکل ۴: مقادیر مربوط به میزان RMSD در شبیه سازی مولکولی پروتئین های Bad، Bak و Bim قبل و بعد از اتصال هسپرین. قبل از مرحله داکینگ (رنگ آبی) و بعد از مرحله داکینگ در حضور لیگاند (رنگ قرمز). کاهش میزان RMSD برای هر سه مولکول پس از به پایداری رسیدن سیستم در مدت زمان ۱۰ نانو ثانیه.

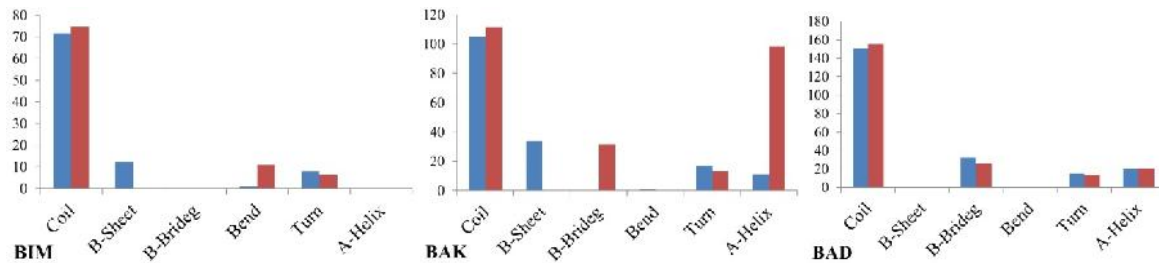
تفاوت در مقادیر فاکتورهای TE، R_g و RMSD در زمان Bad، Bak و Bim و در سطح معنی داری $p < 0.001$ در شبیه سازی قبل و بعد از اتصال هسپرین به پروتئین های جدول ۱ نشان داده شده است.

جدول ۱: مقادیر عددی فاکتورهای مربوط به شبیه سازی پروتئین های Bad، Bak و Bim قبل و بعد از اتصال هسپرین.

| لیگاندها | | TE | R_g | RMSD |
|----------|----|-------------------|------------|------------|
| Bad | G1 | ۱۰۱۸۰۲/۸±۵۵۳/۱ | ۱/۶۲±۰/۰۱ | ۰/۳۶±۰/۰۱ |
| | G2 | -۵۰۵۶۵۷/۷±۵۳۹۸/۰* | ۱/۶۱±۰/۰۱* | ۰/۳۲±۰/۰۱* |
| Bak | G1 | ۲۹۵۰۰/۹±۵۲۱/۷ | ۱/۴۳±۰/۰۱ | ۰/۳۶±۰/۰۵ |
| | G2 | -۱۵۷۱۷۰/۸±۱۰۳۷/۲* | ۱/۴۴±۰/۰۱* | ۰/۳۵±۰/۰۴* |
| Bim | G1 | ۳۶۵۴۸/۹±۳۴۱/۵ | ۱/۱۹±۰/۰۱ | ۰/۲۱±۰/۰۳ |
| | G2 | -۲۲۳۲۲۸/۸±۴۷۱/۴* | ۱/۲±۰/۰۱* | ۰/۲۴±۰/۰۴* |

G1 پروتئین های پیش آپوپتوزی قبل از مرحله داکینگ مولکولی و بدون اتصال هسپرین، G2 پروتئین های پیش آپوپتوزی بعد از مرحله داکینگ مولکولی و در اتصال با هسپرین. میزان انرژی کل در بعد از مرحله داکینگ بهشت کاهش می یابد. میزان R_g بعد از مرحله داکینگ برای مولکول های Bak و Bim افزایش اما برای مولکول Bad کاهش می یابد. میزان RMSD در مقایسه با مرحله G1 می یابد. *سطح معنی داری $p < 0.001$ در مقایسه با مرحله G1

بعد از داکینگ مولکولی و در حضور هسپرتین در شکل شماره ۵ نمایش داده شده است.

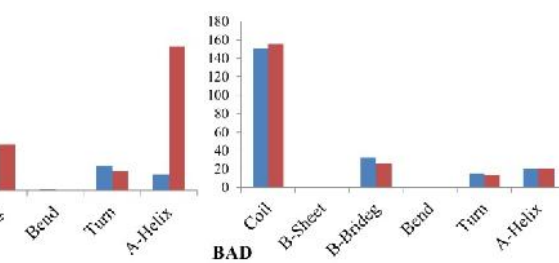


شکل ۵: نمایش تغییرات ساختمان دوم پروتئین‌ها در مرحله شیوه سازی قبل از داکینگ مولکولی و در مرحله شیوه سازی بعد از داکینگ مولکولی و در حضور لیگاند. رنگ آبی نمایش ساختار دوم پروتئین‌ها در غیاب لیگاند و رنگ قرمز نمایش ساختار دوم پروتئین‌ها در حضور لیگاند.

نشان داد که Bim بیشترین انعطاف پذیری را در حضور کوئرستین نسبت به حالت آزاد دارد(۲۳). مطالعاتی که بر روی هسپرتین انجام شده است تأثیر این داروی گیاهی را بر انواع سلول‌های سرطانی به خوبی اثبات کرده است(۲۴ و ۲۵). Alshatwi و همکاران نشان دادند که هسپرتین دارای یک پتانسیل قوی در مهار و توقف رشد سلول‌های سرطانی است و می‌تواند آپوپتوز را در این سلول‌ها الفاکند(۲۶).

اما نتایج حاصل از این مطالعه که در محیط شیوه سازی و دینامیک مولکولی انجام شد نشان داد که هسپرتین در پایین‌ترین سطح انرژی، به خوبی با ساختار پروتئین‌های پیش آپوپتوزی Bad، Bak و Bim اتصال برقرار می‌کند. پس از اتصال هسپرتین به مولکول Bad بیشترین میزان انرژی آزاد می‌شود (شکل ۲ و جدول ۱). این میزان آزاد سازی انرژی برای مولکول Bak نسبت به سه پروتئین دیگر کمتر است. آزاد شدن انرژی بعد از اتصال هسپرتین به پروتئین‌ها بیانگر فعال کردن آن‌هاست و به نظر می‌رسد مولکول Bad در اتصال با هسپرتین بیشتر از سایر ترکیبات فعال و واکنش پذیر شده است. افزایش Rg پروتئین بعد از اتصال لیگاند، میزان در دسترس قرار دادن جایگاه‌های فعال پروتئین را برای واکنش پذیری افزایش می‌دهد(۱۶). نتایج این مطالعه (شکل ۳ و جدول ۱) نشان داد که بعد از اتصال هسپرتین به

نمایش تغییرات ساختمان دوم پروتئین‌ها در مرحله شیوه سازی قبل از داکینگ مولکولی و در مرحله شیوه سازی



شکل ۶: نمایش تغییرات ساختمان دوم پروتئین‌ها در مرحله شیوه سازی قبل از داکینگ مولکولی و در مرحله شیوه سازی بعد از داکینگ مولکولی و در حضور لیگاند. رنگ آبی نمایش ساختار دوم پروتئین‌ها در غیاب لیگاند و رنگ قرمز نمایش ساختار دوم پروتئین‌ها در حضور لیگاند.

بحث

مطالعات فراوانی که بر روی ترکیبات آنتی‌اکسیدانی و فلاونوئیدی گیاهان دارویی انجام شده است نشان می‌دهد که بسیاری از سلول‌های سرطانی در مواجه با این ترکیبات تغییراتی در آن‌ها ایجاد می‌شود که باعث توقف رشد، رگ زایی(۱۹) و نهایتاً آپوپتوز و مرگ سلولی می‌شوند(۲۱ و ۲۰). اما مکانیسم مولکولی و چگونگی فعالیت ترکیبات آنتی‌اکسیدانی و تأثیری که بر روی سلول‌های سرطانی می‌گذارند همواره توجه محققان را به خود معطوف داشته است(۲۲). مطالعه شیوه سازی و دینامیک مولکولی که بر روی تأثیر گالیک اسید بر سه فاکتور پیش آپوپتوزی Bad، Bak و Bim انجام شد نشان داد که گالیک اسید مولکول Bad را بیشتر از دو ترکیب دیگر تحت تأثیر خود قرار می‌دهد (۱۶). مطالعه‌ای که بر روی تأثیر کوئرستین(Quercetin) بر فاکتور‌های پیش آپوپتوزی Bad، Bak و Bim انجام شد نشان داد که تعداد پیوندهای هیدروژنی ایجاد شده بین مولکول Bim و Bak نسبت به دو فاکتور Bad نیز بیشتر است. کوئرستین با فاکتور Bad نسبت به دو فاکتور Bak و Bim بیشتر است و کوئرستین مولکول Bad را در پایین‌ترین سطح انرژی نسبت به دو فاکتور دیگر قرار داده است. میانگین RMSD در طول ۱۰ ns زمان شیوه سازی برای پروتئین Bak و Bad در حضور کوئرستین افزایش و برای Molecule Bim کاهش یافت و مطالعات مربوط به

پروتئین را تغییر دهد و با فعال کردن آن ها موجب القاء آپوپتوز در سلول های آسیب دیده شود.

نتیجه گیری

مجموع نتایج حاصل از شبیه سازی دینامیک مولکولی نشان می دهد که هسپرتین توانسته است هر سه فاکتور پیش آپوپتوزی Bad، Bak و Bim را تحت تأثیر خود فرار دهد و به نوعی هر سه فاکتور را فعال کند؛ اما بیشترین تأثیرگذاری را بر روی پروتئین Bad با بیشترین میزان انرژی آزاد سازی دارد. در حالی که می تواند مولکول Bim را نیز با ایجاد تغییرات ساختمان دوم و افزایش تحریک پذیری فعال کند. مجموع اثرات هسپرتین بر این پروتئین ها، پیش بینی القاء مسیر آپوپتوز سلولی است.

تشکر و قدردانی

این مقاله حاصل طرح تحقیقاتی با کد مصوب ۲۶۷ در معاونت محترم تحقیقات و فن آوری دانشگاه علوم پزشکی شهر کرد می باشد. بدین وسیله از آن معاونت محترم نهایت قدردانی به عمل می آوریم.

Reference

1. Saffari-Chaleshtori J, Tabatabaiefar MA, Ghasemi-Dehkordi P, Farokhi E, Moradi MT, Hashemzadeh-Chaleshtori M. The lack of correlation between TP53 mutations and gastric cancer: a report from a province of Iran. *Genetika* 2017;49:235-46.
2. Heydarnejad MS, Hassanpour DA, Solati DK. Factors affecting quality of life in cancer patients undergoing chemotherapy. *Afr Health Sci* 2011;11:266-70.
3. Eskandari E, Heidarian E, Amini S, Saffari-Chaleshtori J. Evaluating the effects of ellagic acid on pSTAT3, pAKT, and pERK1/2 signaling pathways in prostate cancer PC3 cells. *J Cancer Res Ther* 2016;12:1266-71.
4. Majumdar S, Srirangam R. Solubility, stability, physicochemical characteristics and in vitro ocular tissue permeability of hesperidin: a natural bioflavonoid. *Pharm Res* 2009;26:1217-25.

مولکولهای Bak و Bim و با افزایش مقادیر Rg احتمال واکنش پذیری این دو پروتئین افزایش یابد.

در طول مدت زمان ۱۰ نانو ثانیه از شبیه سازی، پروتئین های Bad و Bak (پس از گذشت ۲/۵ نانو ثانیه) زودتر از پروتئین Bim (۶ نانو ثانیه) به پایداری می رسد (شکل شماره ۴)؛ اما در پایان ۱۰ نانو ثانیه با کاهش میزان RMSD برای هر سه پروتئین مواجه می شویم (شکل ۴ و جدول ۱) و موجب می شود که پروتئین ها پس از اتصال به هسپرتین حالت پایدار خود را حفظ کنند و میزان متوسط جابه جایی را کاهش دهد. با این وجود به نظر می رسد که هسپرتین بر روی پروتئین Bad از نظر میزان RMSD بیشترین تأثیر را نسبت به دو پروتئین Bim و Bak دارد (۲۷).

در ساختمان دوم پروتئین ها ساختارهای -sheet و helix ساختارهای coil و turn مناطق فعال پروتئین محاسبه می شوند. نتایج این مطالعه نشان داد که تغییرات ساختاری coil بعد از داکینگ مولکولی در هر سه پروتئین افزایش یافته است (شکل ۵) که منجر به فعال شدن هر سه پروتئین می شود اما افزایش ساختار helix در مولکول Bak تا حدی از فعالیت آن می کاهد و همچنین افزایش محسوس ساختار Bend در مولکول Bim منجر به فعال شدن آن شده است. این نتایج نشان می دهد که اتصال هسپرتین به این فاکتورهای پیش آپوپتوزی می تواند ساختار دوم این سه

5. Yoshida H, Takamura N, Shuto T, Ogata K, Tokunaga J, Kawai K, et al. The citrus flavonoids hesperetin and naringenin block the lipolytic actions of TNF- α in mouse adipocytes. *Biochem Biophys Res Commun* 2010;394:728-32.
6. Kim HK, Jeong T-S, Lee M-K, Park YB, Choi M-S. Lipid-lowering efficacy of hesperetin metabolites in high-cholesterol fed rats. *Clinica Chimica Acta* 2003;327:129-37.
7. Nalini N, Aranganathan S, Kabalimurthy J. Chemopreventive efficacy of hesperetin (citrus flavonone) against 1, 2-dimethylhydrazine-induced rat colon carcinogenesis. *Toxicol Mech Methods* 2012;22:397-408.
8. Choi EJ. Hesperetin induced G1-phase cell cycle arrest in human breast cancer MCF-7 cells: involvement of CDK4 and p21. *Nutr Cancer* 2007;59:115-9.
9. Ouyang L, Shi Z, Zhao S, Wang FT, Zhou TT, Liu B, et al. Programmed cell death pathways in cancer: a review of apoptosis, autophagy and programmed necrosis. *Cell Proliferat* 2012;45:487-98.
10. Engel T, Henshall DC. Apoptosis, Bcl-2 family proteins and caspases: the ABCs of seizure-damage and epileptogenesis?. *Int J Physiol Pathophysiol Pharmacol* 2009;1:97-115.
11. Wen X, Lin ZQ, Liu B, Wei YQ. Caspase-mediated programmed cell death pathways as potential therapeutic targets in cancer. *Cell Prolif* 2012;45:217-24.
12. Saffari Chaleshtori J, Heidari Soureshjani E, Reisi F, Tabatabaiefar MA, Asadi-Samani M, Zamanian N, et al. Damage intensity of carvacrol on prostatic cancer cells lineDu145 and molecular dynamic simulation of its effect on apoptotic factors. *Int J Pharm Tech Research* 2016;9:261-73.
13. Sambantham S, Radha M, Paramasivam A, Anandan B, Malathi R, Chandra SR, et al. Molecular mechanism underlying hesperetin-induced apoptosis by in silico analysis and in prostate cancer PC-3 cells. *Asian Pac J Cancer Prev* 2013;14:4347-52.
14. Project E, Nachliel E, Gutman M. Force field dependant structural divergence revealed during long time simulations of Calbindin d9k. *J Comput Chem* 2010;31:1864-72.
15. Jeyam M, Karthika G, Poornima V, Sharanya M. Molecular understanding and in silico validation of traditional medicines for Parkinson's disease. *Asian J Pharma Clin Res* 2012;5:125-8.
16. Saffari-Chaleshtori J, Heidari-Sureshjani E, Moradi F, Jazi HM, Heidarian E. The study of apoptosis-inducing effects of three pre-apoptotic factors by gallic acid, using simulation analysis and the comet assay technique on the prostatic cancer cell line PC3. *Malays J Med Sci* 2017;24:18-29.
17. Spoel DVD, Berendsen H. Molecular dynamics simulations of Leu-enkephalin in water and DMSO. *Biophys J* 1997;72: 2032-41.
18. Veeriah S, Kautenburger T, Habermann N, Sauer J, Dietrich H, Will F, et al. Apple flavonoids inhibit growth of HT29 human colon cancer cells and modulate expression of genes involved in the biotransformation of xenobiotics. *Mol Carcinog* 2006;45:164-74.
19. Kumar B, Gupta SK, Srinivasan B, Nag TC, Srivastava S, Saxena R. Hesperetin ameliorates hyperglycemia induced retinal vasculopathy via anti-angiogenic effects in experimental diabetic rats. *Vascul Pharmacol* 2012;57:201-7.
20. Heidarian E, Keloushadi M, Ghatreh-Samani K, Valipour P. The reduction of IL-6 gene expression, pAKT, pERK1/2, pSTAT3 signaling pathways and invasion activity by gallic acid in prostate cancer PC3 cells. *Biomed Pharmacother* 2016;84:264-9.
21. Elmore S. Apoptosis: a review of programmed cell death. *Toxicol Pathol* 2007;35:495-516.

22. Roohbakhsh A, Parhiz H, Soltani F, Rezaee R, Iranshahi M. Molecular mechanisms behind the biological effects of hesperidin and hesperetin for the prevention of cancer and cardiovascular diseases. *Life Sci* 2015;124:64-74.
23. Saffari-Chaleshtori J, Heidari-Soreshjani E, Asadi-Samani M. Computational study of quercetin effect on pre-apoptotic factors of Bad, Bak and Bim. *J Herbmed Pharmacol* 2016;5:61-6.
24. Wu D, Zhang J, Wang J, Li J, Liao F, Dong W. Hesperetin induces apoptosis of esophageal cancer cells via mitochondrial pathway mediated by the increased intracellular reactive oxygen species. *Tumour Biol* 2016;37:3451-9.
25. Tekin Glm, Ozturk Br. Effects of Quercetin and Hesperetin on MCF-7 Cell Proliferation by Using Real-Time Cell Analyzer. *J Basic Clin Pharm* 2017;8:121-6.
26. Alshatwi AA, Ramesh E, Periasamy V, Subash Babu P. The apoptotic effect of hesperetin on human cervical cancer cells is mediated through cell cycle arrest, death receptor, and mitochondrial pathways. *Fundam Clin Pharmacol* 2013;27:581-92.
27. Carugo O, Pongor S. A normalized root-mean-square distance for comparing protein three-dimensional structures. *Protein Sci* 2001;10:1470-3.